## ХИВОДОМОТОНМ КИНЗРУСКИ АУИМАНИД ВОЧЗЕАЛ ХИННОИЦИЗЖНИ

При решении ряда вадач, связанных с использованием инжекционных гетеролазеров в системах волоконно-оптической связи, светодальнометрии и т.д., необходимо онать особенности кинетики лазерной генерации. Динамика инжекционных лазеров обычно рассматривается в одномодовом приближении. Однако пазеры в большинстве случаев обладают тенденцией к многомодовой генерации. Количество мод, их характеристики и возимодействие определяются многими факторами, среди которых - геометрия вктивной области лазера, пространственные неоднородности структуры (оптические и електрические), наличие дефектов, превышение инжекционного тока над пороговым оначением. Даже специально разработанные одномодовые пазеры генерируют несколько мод, одла но которых оначительно превосходит по интенсивности остальные.

Модовый состав генерируемого иолучения во многом определяет пространственную, временную и спектральную структуры излучения, а также вид ватт-амперной характеристики. Сложный вид переходных процессов необходимо учитывать при использовании многомодовых ласеров в системах, требующих генерации предельно коротких импульсов большой интенсивности с высокой частотой следования; широкий спектр ислучения нежелателен для ласеров, применяемых в спектроскопии и голографии; нелинейности ватт-амперной характеристики овтрудняют использование таких ласеров в импульсном режиме и делают невооможной работу в аналоговом режиме. Существующие математические модели многомодовых инжекционных ласеров не объясняют в полной мере сложный характер переходных процессов и другие эффекты, наблюдаемые в реальных ласерах. Поетому представляется необходимым произвести теоретическое и окспериментальное исследование динамики генерации многомодовых ласеров.

## 1. ОСОБЕННОСТИ ГЕНЕРАЦИИ ИЗЛУЧЕНИЯ МНОГОМОДОВЫМИ ГЕТЕРОЛАЗЕРАМИ

При описании и расчете оптической структуры инжекционных паверов обычно испольоуется понятие мод, под которыми подра: умеваются такие несьодимые друг к другу конфигурации, на которые можно распожить фактически существующее поле, то есть собственные решевии волнового уравнения с определжными красвыми условикын. В свободном пространстве и в безграничной одвородной среде полный набор решений волнового уравнения обрасуют плоские волны. Плотность мод на единицу объема и частоты для свободного пространства составляет [1]:

 $\rho_{\nu}(\nu) = 8\pi\nu^3/c^3,\tag{1}$ 

где  $\nu$  - частота моды, c - скорость света.

В среде с дисперсией плотность мод на единицу объема и единицу внергии фотонов равна:

 $\rho_{\nu} = \frac{n^2 n^* (\hbar \omega)^2}{\pi^2 \hbar^2 c^2},\tag{2}$ 

где  $\mathbf{w} = 2\pi \nu$ ,  $n^*$  - групповой но́ваовтель преломи, ява, определяемый формулой:

 $n' = n + \omega \frac{dn}{d\omega} = n - \lambda \frac{dn}{d\lambda}.$  (3)

Формулы (1), (2) пригодны для определения числа мод в объеме  $V\gg \lambda^3$  .

Спектр мод плоского резонатора цинной L определяется усновием продольных резонансов:

$$\omega_{00q} = \pi cq/nL, \qquad \lambda_{00q} = 2nL/q, \tag{4}$$

где п - показатель предомления среды, заполняющей ресонатор. Для плоских ресонаторов, не ограниченных в боковых направлениях, поперечная структура мод с инцексами 0,0, д и мод высших порядков определяется размерами и формой черкал. В инжекционных начерах структура мод определяется воличводом, и моды характериоуются показателем преломления n<sub>то</sub>.

В этом случае условие продольных ресонансов выражается формулами:

$$\omega_{00q} = \pi sq/n_{ms}L, \qquad \lambda_{00q} = 2n_{ms}L/q. \tag{5}$$

Межмодовые расстояния в данном случее будут равны:

$$\delta_{q}\omega = \pi c/n_{ms}^{*}L, \qquad \delta_{q}\lambda = \frac{\lambda^{2}}{2n_{ms}^{*}L}, \qquad (6)$$

где  $n_{ms}^*$  определяются формутой (3). Моду с m=s=0 насывают продольной, или аксиальной модой, а моды с m>0 и s>0 - поцеречными модами.

В случае параболического распределения показателя преломления в поперечных направлениях с максимумом  $n_0$  вдоль оси z (что обычно имеет место в полупроводниковых лазерах) определим зависимость n(x,y) как

$$n(x,y) = n_0 \left[ 1 - \left( \frac{x}{x_0} \right)^2 - \left( \frac{y}{y_0} \right)^2 \right]^{1/2}, \tag{7}$$

где  $x_0, y_0$  - величины, харав терноующие кривиону ивменения показателя предомления. В данном случае спектр частот имеет вид:

$$\omega_{mag} = \omega_{jU_g} \left( 1 + \frac{Lm}{\pi x_a q} + \frac{Ls}{\pi y_a q} \right), \tag{8}$$

$$\omega_{00q} = \frac{\pi cq}{Ln_0} + \frac{c}{2n_0} \left( \frac{1}{r_0} + \frac{1}{v_c} \right). \tag{9}$$

Межмодовые интерваны равны:

$$\delta_q \omega = \pi c / n_0^* \lambda, \qquad (\delta m = \delta s = 0),$$

$$\delta_m \omega = c / n_0^* x_0, \qquad (\delta q = \delta s = 0),$$

$$\delta_s \omega = c / n_0^* y_0, \qquad (\delta q = \delta m = 0),$$

$$(10)$$

где  $n_0^* = n_0 + \frac{1}{2}$  - групповой показатель преломления на оси волновода. Модовая структура конкретного инжекционного лазера может соответствовать нескольким типичным случаям:

- испускание одной или нескольких спектральных липий, в которых могут не различаться моды с разной пространственной конфигурацией. В этом случае моды с одинаковыми продольными индексами, отличающиеся друг от друга поперечными индексами, имеют почти одинаковые частоты (одночастотный режим);
- испускание моды или нескольких мод одной пространственной конфигурадии (этот режим обычно насывается одномодовым);
- испустание многих продольных и поперечных мод, причем спектральный интервал, приходящийся на моды с одинаковыми продольными индексами, перекрывает величину межмодового интервала (многомодовый режим).

Как отмечалось, количество генерируемых мод вависит от многих факторов, определяемых типом используемого резонатора, особенностями активной среды и накачкой. К числу таких факторов чожно отнести разоничный характер функций усиления, оффект пространственного выжигания дыр, неоднородное уширение; также больное влияние на модовый состав оказывают особенности технологического процесса, геометрия активной области назера, плотность тока инжекции, неоднородность пакачки [2].

Чтобы выяснить, какие моды будут генерироваться в реальном пасере, и получить соотношение между амилитудами различных типов колебаний, необходимо при решении уравнений Максвелла учесть нелинейвые оптические свойства активной среды и выход иолучения за пределы резонатора. Эта задача очень сложна и обычно решается приближенно. Для простоты картину генерации можно представить в виде одного кодвух крайне идеализированных случаев [3]. В первом случае предполагается, что генерируемое излучение не оказывает обратного действия на активную среду. Следовательно, кооффициент усиления полностью определяется спектроскопическими свойствами вещества и накачкой. Тогда моды генерируются везависимо друг от друга. С ростом накачки процесс распространяется на все новые и новые моды. В этом случае генерироваться будут все моды, для которых кооффициент потерь меньше или равен кооффициенту-усиления.

В другом крайнем случае после воончиновения генерации на одной или нескольких модах вся нобыточная над порогом энергия переходит в онергию молучения этих мод. Генерируемое иолучение вывывает интенсивные вынужденные переходы и препятствует увеличению уровня мнверсной населенности. После начала генерации коэффициент усиления остается постоямным при всех интенсивностях вообуждения, превышающих порог, а число генерируемых мод не номеняется.

Реальная картина генерации инжекционного ласера сакиочена между втими крайними случамии. Чаще исего генерация вооникает вначале на одной моде. С ростом накачки интенсивность получения етой моды быстро растет. До некоторого сначения инжекционного тока она подавляет генерацию других мод. При дальнейшем увеличении накачки в спектре генерации появляется вторая мода, сатем число их растет.

Основные причины многомодовой генерации можно выраоить следующим обрасом. Во-первых, каждая мода имеет присущие только ей пространственную неоднородность и стационарпую локалиоацию в активной среде. Ни одна по мод не может снимать внергию со всей активной среды. Даже если какой-либо тип колебаний (акснальная мода) охватывает всю активную среду, внутри ревонатора устанавливаются стоячие волны с уолами и пучностям. Участки активной среды, расположенные в уолаж волны, практически не отдают свою внергию генерируемой моде. Уровень инверсной населенности таких участков с ростом накачки новыплается, и соодаются благоприятные условия для генерации других

типов воли, пучности и уелы которых иначе расположены в пространстве. Кроме того, в инжехционных лазерах в активной среде около случайных технологических неоднородностей часто возникают отдельные генерирующие нити. Мода, генерируемая в одной нити, не может подавить генерацию мод в других нитях [1].

Во вторых, генерирующая мода может "прожечь дырку" в спектре усиления, что связано с неоднородным уширением спектральных линий. Тогда коэффициент усиления для соседлих в спектре мод станет больше, чем для генерирующей моды, что показано на рис.1 [3].

В-третьих, флуктуации или намеренные вариации тока накачки (накачка короткими импульсами или модуляция накачки в диапасопе СВЧ) приводят к тому, что пороговое условие генерации выполняется сразу для многих мод. Иолучение испускается в течение времени, пока контур усиления не опустится в репультате насыщения в нижнее положение. Начальные условия для каждого пичка иолучения определяются состоянием лапера в науче между пичками. Если в науче имеется когерентное иолучение, то пичок примерно воспроиоводит его спектр. Если в пауче интенсивность падает до спонтанного фона, то пичок воспроиоводит случайное распределение фотонов, не повторяющееся от пичка к пичку.

При медленных (по сравнению с временем живни электронов) флуктуациях тока накачки вооникает температурная нестабильность, которая ведет к нестабильности спектрального положения пика усиления. Сдвиг частоты максимума усилении можно оценить выражением [1]:

$$\delta\omega_{m} = \frac{dE_{q}\,\delta T}{dT\,\hbar},\tag{11}$$

где  $\frac{dE}{dt}$  - инменение пирины сапрещенной соны под действием температуры,  $\delta T$  - нариация температуры активного вещества.

Смещение на одно межмодовое расстояние происходит для паосров на основе материалов, подобных GaAs, при изменении температуры на 0,1-1K. Но даже температурные физитуации гораздо меньшей величины могут вызвать переключение мод, если пик усиления находится посередине между ними.

Ио вышеноложенного можно вывести саключение о том, что в рамках пространственно-однородной модели одновременное сосуществование мод вооможно лишь в нестационарных условиях. Но пространственная однородность и абсолютном смысле неосуществима. Даже если предположить идеальную однородность оптических и электрических характетистия среды, остаются неоднородности в распределении электромагнитпого поля в ресонаторе. Таким образом, можно считать, что многомодожингрида кыниопереди тар экпелия эсинерине - иипсенени мижэр ими тока накачки, если не принимать специальных мер или подавления всех продольных в поперечных мод, кроме одной.

Модовый состав генерируемого иолучения определяет пространственную, временную и спсктральную структуры генерируемого ислучения, картину ближнего в дальнего поля, дкаграмму направленности и вид ватт-амперной характеристики паоерного двода.

К явленилы, усложилющим спектральный и временной характер генерации, можно отнести [4,5]:

- 1) конкуренцию и антиконкуренцию мод, состоящую во возимном подавлении или илициировання расличных типов колебаний;
- 2) самосивхронивацию продольных мод с испусканием последовательности коротких импульсов с частотами повторения  $\sim 10^9 \Gamma$ ц (с внешним ресонатором) и  $10^{11}\Gamma\mu$  (с ресонатором, образованным гранями даверного кристалла);
- 3) испускание регупирной последовательности коротких импульсов молучения с илительностью  $\sim 10^{-10} c$  и с частотой повторения  $\sim 10^{-9} c^{-1}$ при спихрониоации жесткого вообуждения лавера малым периодическим сигналом;
- 4) частотную автомодуляцию витенсивности получения с характерными временами  $10^{-10}$ с, определяющую способность паоера к самопроиовольным переходиым процессам.

В ресультате конкуренции мод карактеристики дасерного ислученыя становится пестационарными. Иолучение состоит чаще всего по коротких хаотических импульсов, каждый по которых имеет еще более тонкую временную структуру. Мгновенный спектр волучения иоменяется во времени и отличается от спектра, усредненного оа большой промежуток премени. Даже в условиях непрерывной генерации в целом время генерации отдельной моды сравнятельно певелико.

Синхронноация мод связана с тем, что эквидистантные моды при суперпоонции с определенными фасовыми соотношениями дают периодическую последовательность импульсов с частотой повторения, равной разности частот соседних мод. Для группы продольных мод период повторення пульсаций определлется пролетным временем резонатора:

$$t_c = 2Ln^*/c, \tag{12}$$

а сяважность пропорциональна числу сфарированных мод. Поскольку моды со случайно флуктупрующими фазами дают нерегулярную картину биений, для синхронизация мод необходимо подключение какого-либо воздействия, влияющего на фасу оптических колебаний. При самосинхронизации мод такую функцию может выполнять нелинейное поглощение, благопринтствующее прохождению коротких вмпульсов и подавляющее слабые флуктуации [1]. При намеренной модуляции с периодом, совпадающим с  $t_c$ , может происходить активная синхронизация мод.

Интерференция мод в активной среде приводит к колебаниям скорости вынужденных переходов и, следовательно, вывывает колебания концентрации восителей варяда. При совпадении их частоты с частотой релаксационных пульсаций возможна резонансная раскачка пульсаций интелсивности излучения. В диапазон частоты релаксационных пульсаций может попасть разностная частота второго порядка для продольных мод, определяемая как

$$\delta_{q}^{2}\nu = (\nu_{q+1} - \nu) - (\nu_{q} - \nu_{q-1}), \tag{13}$$

и отличная от нуля в силу неоквидистантности мод.

Картина ближнего поля излучения зависит как от количества неозвисимых генерирующих нитей, так и от пространственной конфигурации поперечных мод. В случае эквидистантности частот поперечных мод возможно возпикловение такого автомодуляционного явления, как самосинхропизация поперечных мод, которая выражается в периодических смещениях ярхого пятна в ближней воне и номенениях диаграммы направлепности [1].

Ватт-амперная характеристика, как было указано выше, также зависит от модового состава генерируемого иолучения и воанмодействия между модами. Типичная оавясимость мощности генерации от тока навачки представлена на рис. 2. Она состоит но трех отреоков прямых с сублинейными участвами, их соединяющими. Ревкое вопрастание мощности происходит при достижении порога генерации. Липейный участок В обычно соответствует вначевиям тока накачки от  $1,1I_{nop}$  до  $10I_{nop}$ . В дальнейшем начинают сильно сказываться тепловые оффекты, выомвающие увеличение порога генерации, деформацию осркал резонатора, увеличение внутренних оптических потерь. Все ото ведет к падению мощности. Однако во многих случаях в данной сависимости могут появиться раорывы, горивонтальные участии и другие особенности. Пример такой ватт-амперной карактеристики приведен на рис. 3 [3]. Появление так навываемых полочек, на которых при росте тока не происходит дальнейшего воорастания мощности генерации, может объясняться конкуренцией типов колебаний, насыщением и патуханием одних и вос-

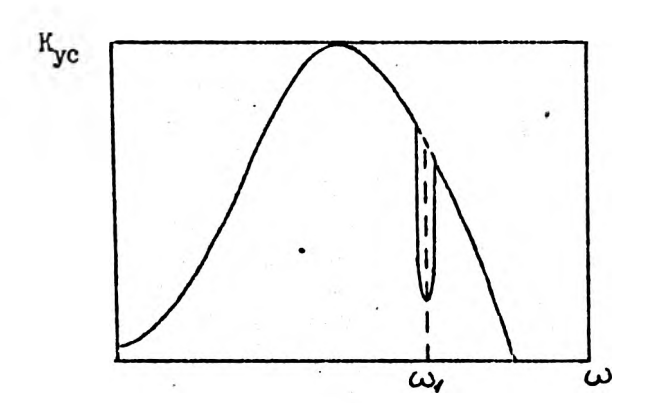


Рис. 1. Выжигание спектрального провала на частоте  $\omega_1$  в спектре неоднородно упиренной пании усиления

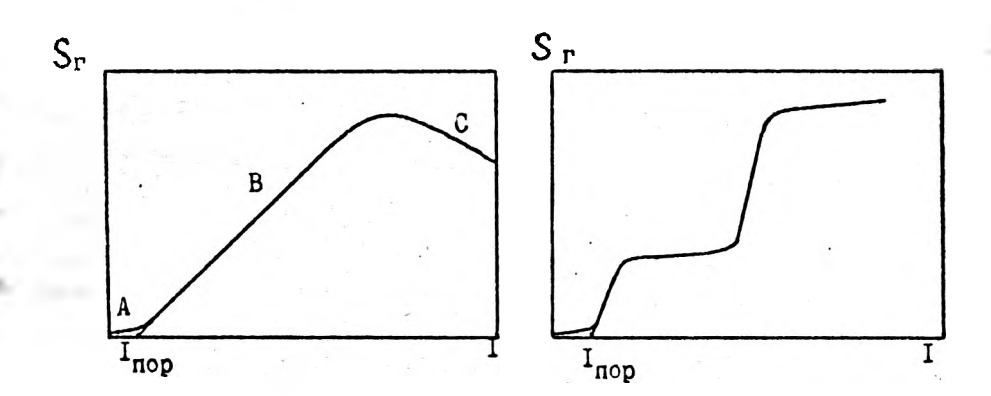


Рис. 2. Типичная ватт-амперная характеристика инжекционного лаосра

Рис. 3. Ступенчатая
ватт-амперная
характеристика

буждением других каналов генерации, деформациями канала генерации, исменением профиля пространственного распределения носителей тока и соответственно иоменением модового состава получения [3].

Для учета модового состава ислучения решение волнового уравнения можно представить в виде разложения по собственным колебаниям резонатора с активной средой, определяемого в адиабатическом приближении следующим выражением [6]:

$$\vec{E} = \sum_{i} \frac{1}{\sqrt{\omega_{i}(t)}} \vec{E}_{i}(\vec{r}, t) exp[-i \int w_{i}(t') dt'], \qquad (14)$$

где  $ec{E}$  - вектор напряженности электрического поля.

Динамика генерации получения одномодовых ласеров обычно описывается системой скоростных уравнений. Применение данного метода для аналиса физических процессов в многомодовых инжекционных ласерах не посволяет учесть фасовых соотношений между модами. Однако метод уравнений баланса может быть испольсован при поучении динамики многомодовых ласеров, если считать, что ресультирующая плотность внергии в объеме активной среды представляет собой усредненную по объему суперпосицию плотностей энергии колучения в отдельных модах.

В работе [7] детально рассмотрено влияние выжигания пространственных провалов усяжения на спектр продольных мод, учтена диффусия носителей, сглаживающая провалы вк концентрации (а следовательно, и усиления), и получены сависимости числа продольных мод от тока накачки и температуры.

Для влектрического поля продольной моды запишем:

$$|E_i(x,z)|^2 = S_i(t)[1 - \cos(2m_i\pi/L)z]|E(x)_i|^2, \qquad (15)$$

где  $E(x)_l$  определяет профиль продольной моды,  $S_i(t)$  - плотность фотонов в і-й продольной моде, L - длина резонатора, m - число полуволи, укладывающихся между осркалами резонатора.

Используя формулу (15), можно получить скоростные уравнения для концентрации электронов n(z,t) и фотонов  $S_i(t)$  и привести их и виду, не зависящему от координаты z:

$$\frac{dn_i}{dt} = -\frac{n_0 - n'}{\tau_s} - \sum_{i=1}^{l} G_i(n_0 - 0.5n_i)S_i, \qquad (16)$$

$$\frac{dn_i}{dt} = -\frac{n_i}{\ell_i \tau_0} + G_i(n_0)S_i - \sum_{i=1}^{l} G_i(n_i)S_i, \qquad (17)$$

$$\frac{dS_i}{dt} = -\gamma_i S_i + G_i (n_0 - 0.5 n_i) S_i.$$
 (18)

Здесь j - число продольных мод, n' - стационарная концентрации влектронов,  $\tau_s$  - спонтанное время жиони носителей;  $G_i$  - кооффициент усиления;  $\gamma_i$  - кооффициент потерь для i-й моды;

$$\varepsilon_i = [1 + D'\tau_s(2\pi m_i/L)^2]^{-1}$$
 (19)

где D' - кооффициент бинолярной диффузии.

T.x.  $m_i$  - достаточно большое число, пренебрежем оависимостью  $\epsilon_i$  от индехса i:

$$\varepsilon = \{1 + D'\tau_a(4\pi/\lambda)^2\}^{-1},\tag{20}$$

где  $\lambda$  - центральная длина волны спектра.

Введем безравмерный параметр а:

$$\alpha = g_1 n' L / \gamma. \tag{21}$$

Этот параметр пропорциопален плотности инжекционного тока. Генерация на одной моде пачинается при  $\alpha=1$ ; для вообуждения второй моды необходимо вначение

$$\alpha = (g_1 \gamma_1/g_1/g_2 \gamma_1) + \frac{2}{\varepsilon} [(g_1 \gamma_2/g_2/g_2 \gamma_1)1]. \tag{22}$$

Условия появления в спектре следующих продольных мод вадаются анамогичными выражениями.

Увеличение количества продольных мод с ростом тока накачки, рассчитанное для данной модели, показано на рис.4.

Как известно, коэффициент биполярной диффузии линейно зависит от температуры, что приводит к уменьшению  $\varepsilon$  с ростом температуры, т.е. при более высоких температурах появление нескольких продольных мод в спектре излучения требует больших плотностей тока.

Для получения более точной картины генерации, т.е. для учета вооможного появления поперечных мод, пеобходимо учитывать поперечные вариации поля, т.е. расличный профиль мод с расличными поперечными индексами. Вооможность присутствия в спектре генерации поперечных мод будет определяться интегралом перекрытия для квадратов амплитуд и эффективностым накачки в неперекрывающихся областях. Важную роль будет играть ширина полоскового контакта. Ее уменьшение ведет к уменьшению максимального порядка вооможных поперечных мод и к повышению их относительного порога генерации [1].

Во многих случаях динамическое поведение полупроводниковых лаосров, генерирующих продольные и поперечные моды, достаточно хорошо описывается дифферепциальными уравнениями второго порядка. Учитывая, что длина волны генерации и толщина активного слоя много меньше диффусионной длины носителей саряда, данные уравнения можно представить в виде [8]:

$$\frac{\partial n(x,t)}{\partial t} = \frac{J(x,t)}{ed} - \frac{n(x,t)}{r_o} + D' \frac{\partial^2 n(x,t)}{\partial x^2} - \sum_{i,j} G_i(n(x,t)) |E_j(x)|^2 S_{ij}, \quad (23)$$

$$\frac{\partial S_{ij}}{\partial t} = \left(G_{ij} - \frac{1}{\tau_{pij}}\right) S_{ij} + \frac{\beta_{i,j}}{\tau_s} \frac{1}{2W} \int_{-W}^{W} \mathbf{n}(x,t) dx, \tag{24}$$

где n(x,t) - плотность электронов, J(x,t) - плотность инжевционного тока, e - саряд электрона, d - толщина активного слоя,  $E_j(x)$  - нормалисованное распределение поля для моды с поперечным индексом j;  $G_{ij}$ ,  $\tau_{pij}$ ,  $b_{ij}$  - усиление, время жибни фотонов и фактор спонтанного иолучения для моды и индексами i,j, соответственно; 2W - инфина полоскового контакта.

Распределение поля  $E_j(x)$  в принципе оависит от усиления и профиля показателя преломления, а следовательно, от профиля плотности электронов n(x). Для упрощения расчетов обычно используется приближенное фиксированное распределение.

Кооффициент усиления g как функция онергии фотова  $E_p$  может быть анпроксимирован параболической функцией:

$$g(n, E_p) = g_{max}(n) - (E_{max}(n) - E_p)^2 P(n^2).$$
 (25)

Усиление для і-х продольных мод определяется как

$$G_i(n) = g(n, \lambda_i)v, \tag{26}$$

где v - скорость света в активном веществе лаоера, g - коеффициент потерь для i-й моды.

Зависимость кооффициента усиления от плотности электронов для различных длин волн и от длины волны для различных и показана на рис.5,6 [9]. Аппроксимация подобной зависимости осуществляется путем представления кооффициентов  $g_{max}$ ,  $E_{max}$ , P в выражении (25) как линейных [10] либо параболических [8,11] функций плотности носителей

Заметим, что решение дифференциальных уравнений высокого порядка численными методами требует больших оатрат малинного времени. Поэтому производятся некоторые упрощения, поэволяющие получить

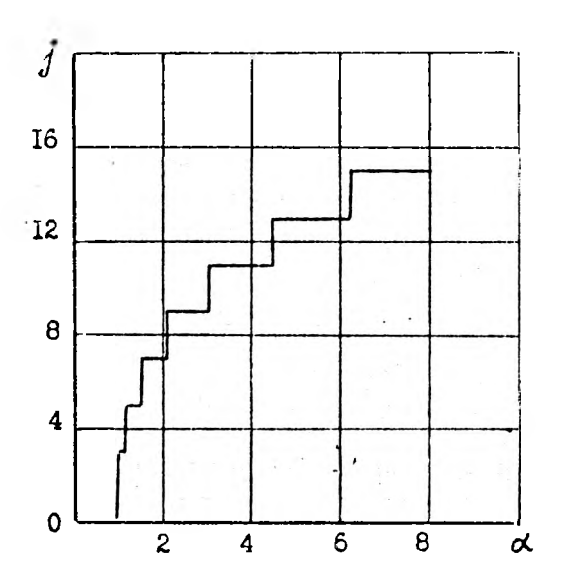


Рис. 4. Зависимость числа продольных мод от параметра пакачки.

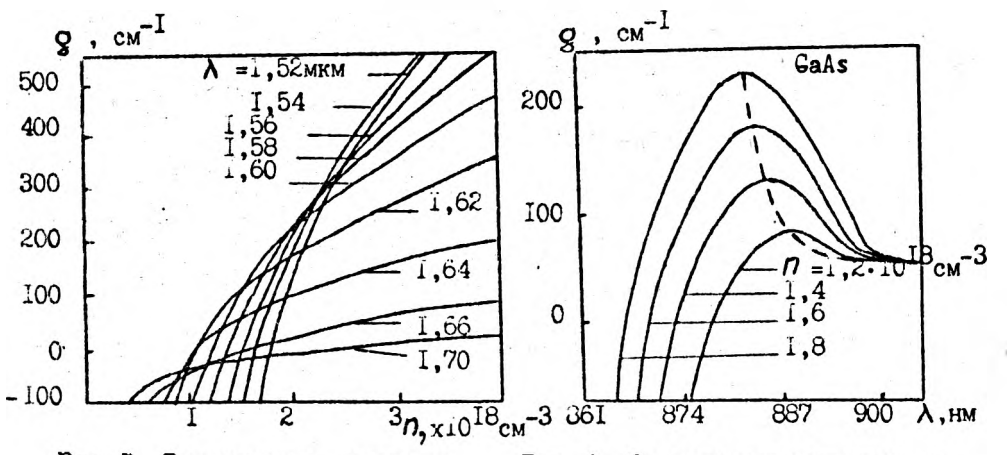


Рис. 5. Зависимость усиления от плотности носителей для лапера на осноте  $Ga_{0.47}In_{0.83}As$ 

Рис. 6. Зависимость усиления от длины волны испучения

уравнения первого порядка. В частности, можно разбить понеречное сечение лазвера на ряд областей, в которых концентрация неравновесных носителей оаряда предполагается не оавысящей от координат [2,8]. Для расчета динамики генерации испольоуется система скоростных уравнений для концентраций электронов в объемах и концентраций фотонов в модах.

В некоторых случаях к правой части скоростных уравнений добавляют функцию  $F_i(t)$ , представляющую собой последовательность случайных чисел, распределенных по Гауссовскому сакону [12,13]. Появление ее связано с тем, что при выводе скоростных уравнений используется классическая олектродинамика (уравнения Максвелла). Это приводит к пренебрежению вкладом спонтавного иолучения в баланс фотонов ласерных мод. Квантовомеханический подход покасывает, что спонтанное ислучение дает флуктуирующую добавку к скорости приращения плотности фотонов, равную в среднем  $\beta n/\tau_s$ . Функция  $F_i(t)$ , среднее оначение которой равно 0, описывает эти флуктуации спонтанного ислучения. Благодаря случайному распределению по частотам спонтанно испущенных фотонов выходной ситнал полупроводникового ласера подвержен флуктуациям в пикосекундном диапазоне, что при импульсной модуляции может привести к существенным опибкам в системах связи [11]. Тем не менее во многих вадачах флуктуирующей частью можно пренебречь [1].

Таким образом, в настоящее время основным методом анализа динамического поведения многомодовых инжекционных ласеров является решение скоростных уравнений, составленных с учетом некоторых упрощающих приближений, для определенного числа мод (или групп мод). Однако существующие математические модели многомодовых инжекционных ласеров не объясняют в полной мере сложный характер переходных процессов, наблюдаемый в реальных ласерах.

## 2. АНАЛИЗ ПЕРЕХОДНЫХ ПРОЦЕССОВ МНОГОМОДОВЫХ ИНЖЕКЦИОННЫХ ГЕТЕРОЛАЗЕРОВ

При решении многих оздач, особенно в высокоскоростных системах передачи информации, необходимо генерирование инжекционными лаверами импульсов иолучения предельно малой длительности с высокой частотой следования, хорошей воспроизводимостью формы и жестной привяской и синхронизонрующему сигналу. Чтобы выяснит, пригоден ли данный лавер для этих целей, необходимо внать особенности установления режима стационарной генерации, т.е. переходного процесса.

— 15 —

Динамика получения одномодовых инжекционных лаперов описывается системой скоростных уравнений [14]. Вид переходного процесса в одномодовом лапере представлен на рис. 7.

Иоменение плотности электронов и фотонов в переходном процессе при подаче импульса тока примоугольной формы представляет собой оатухающие колебания:

$$(n - n_{sop}) \sim exp(-\frac{\epsilon}{\tau})cos(\omega t),$$
 (27)

$$(S - S_{CT}) \sim exp(-\frac{t}{\tau})cos(\omega t - \varphi_o),$$
 (28)

где частота  $\omega$  и постоянная оатухания  $\tau$  односначно оависят от параметров ресонатора, активной среды и накачки. Для мпогомодового пасера вид переходного процесса может быть гораздо более сложным, что связано с хонкуренцией расличных типов колебаний.

Для исследования переходных процессов инжевционных гетеролаоеров необходимо соодагие прециононной аппаратуры с очень высохим временным раорешением. Характерная длительность пичка излучения составляет около 50 пс, частота повторения ~ 10ГГц. Таким обравом, временное раорешение фотодетектора должно быть по крайней мере < 50 пс. Рассмотрим, какие из применяемых в настоящее время приемников оптического получения удовлетворяют дациому требованию.

Ио полупроводниковых фотоприемников для получения, модулированного в днапасоне СВЧ, используются p-i-n-фотодиоды и лавинные фотодиоды (ЛФД). Быстродействие p-i-n-фотодиодов определяется переходным временем, пависящим от постоянной времени СR фотодиода и нагруски, времени дрейфа носителей впутри диода  $t_{IIp}$  и времени рекомбинации. Частотния характеристика описывается формулой [15]:

$$\frac{I(f)}{I(0)} = \frac{\sin(\pi f t_{\Pi} p)}{(\pi f t_{\Pi} p)}.$$
 (29)

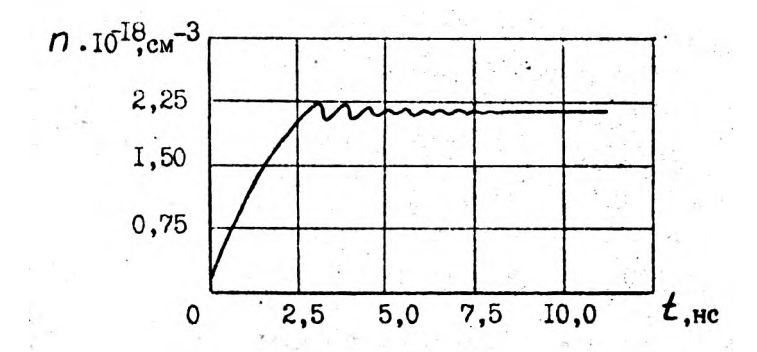
Граничная частота обычно составляет 1 ГГц.

Для ЛФД полное время переходного процесса складывается по:

- а) времени перехода влектронов через область дрейфа;
- б) времени, необходимого для развития лавины;
- в) переходпого времени, пеобходимого рожденным в лавине дыркам для встречного пересечения , рейфового пространства.

Эти факторы ограничивают полосу несколькими ГГп.

Таким обраном, данные приборы пригодны в лучшем случае для регистрации количества пичков в переходном процессе инжекционного



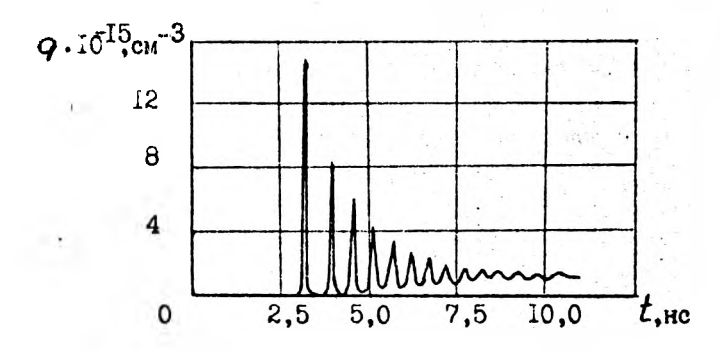


Рис. 7. Перекодной процесс для одномодового виженционного гетеропасера:  $J=2000A/cm^2$ ;  $v=8.3\cdot 10^9 cm/c$ ;  $n_0=10^{18}cm^{-3}$ ;  $d=10^{-6}cm$ 

пасера, но с их помощью нелься определить форму, длительность и амплитуду пичков. Однако в настоящее время пучшие фотоэлектронные приборы для регистрации оптических сигналов превосходят лучшие твердотельные фотодетекторы по внутреннему усилению фототока и по быстродействию. Это делает целесообрасным использование именно фотовлектронных приборов в контрольно-измерительной аппаратуре пикосекундного диапасона.

Для регистрации формы переходных процессов инжекционных источников иолучения типа ИЛПИ-301, ИЛПН-102 использовался стробоскопический фотоэлектронный осциплограф оптических сигналов ОСО-2 [16]. В качестве фотодетектора в данной системе используется фотоумножитель ФЭУ-84, работающий в режиме стробирования фототока в прикатодной области и в динодной системе.

Предельное временное раорешение традициопных ФЭУ составляет не менее 0,3 нс. Реальным путем повышения раорешения во времени является метод стробирования фототока в прикатодной области ФЭУ. Данный метод исключает влияние на временное раорешение систем осциллографии оптических сигналов времени пролета влектронов от умножительной системы к аноду, емкости анода, раоброса времен пролета влектронов черео ФЭУ, сопротивления анодной нагруски. При втом сохраняется высокая чувствительность фотоолектронного умножителя. Раорешение во времени данного метода определяется нестабильностью синхрониоации и длительностью стробоскопической вырески из фототока и может составлять десятки пикосекунд.

Для получения во фототока стробоскопической вырески субнаносекундной длительности на модулятор фототока, располагаемый вблиои фотокатода торцевого ФЭУ, подают положительный перепад папряжения и соодают потенциальный барьер для фотослектронов, обеспечивающий режим отсечки фототока, т.е. вооврат электронов на фотокатод. Синхронно с оптическим сигналом на фототок воодействуют ускоряющим электроны стробирующим сигналом. Часть ускоренных электронов приобретает энергию, необходимую для преодоления потенциального барьера, и поступает в умножительную систему и на выход фотодетектора. Амплитуда сигнала на выходе пропорциональна интенсивности света во время формирования стробвырески. Осуществляя временной сдвиг стробирующих импульсов по отношению к регистрируемым, получают на выходе фстодетектора последовательность выресок, огибающая которых представляет трансформированный во времени оптический сигнал.

Строб прование фототока осуществляется также и в динодной си-

стеме ФЭУ путем подачи на диноды через линии задержек олектрического импульса. Время оадержка поступления управляющего импульса и его -антир отонностыло винелжохоси неемера котобавивабили строналетили ла через соответствующий междинодный промежутов. В результате в ФЭУ реалиочется режим "бегущей волны", при вотором время работы диподной системы в режиме умножения соизмеримо с временем пролета электронов черео междинодный промежуток. Стробирование фототока в пинодной системе само по себе в принципе не может дать более высокое разрешение во времени по сраинению со стробированием фототова в прикатодной области оа счет того, что оно не полностью исключает влияние раоброса времен прохождения электронов через ФЭУ на временное раорешение. Тем не менее, кратковременность работы умножителя в усилительном режиме повволяет практически полностью устранить бомбардировку фотокатода положительно овреженными ионами и вызванные ею послеминульсы, положительную ноппо-электронную связь, уменьшить темповые тохи фотоприемника и его восприим чивость к фоловым сасветкам и оптическим помехам.

Временное раорешение стробоскопического фотоолектронного осциллографа ОСО-2, испольоующего данный способ регистрации формы оптического сигнала при помощи одного из вышеуказанных ФЭУ, составляет (20 ...40) пс. Структурная схема ОСО-2 представлена на рис. 8. Регулируемая задержка предназначена для изменения временного разрешения ОСО-2. Блок временных разверток обеспечивает нестабильность синхронизации не более 5 пс на развертках 0,1...20ис. Применение в ОСО-2 линии задержки и соответствующих функциональных связей повысило точность регистрации формы оптического сигнала, а использование для запирания фототока модулирующего электрода, встроенного во входной камере ФЭУ, повысию не только помехозащищенность ОСО-2 от фоновых засьеток, но и коэффициент передачи фототока при стробоскопическом преобразовании за счет фокусировки электронного потока.

Основные характеристики осциллографа ОСО-2: динамический дианавон линейной регистрации - 10<sup>3</sup> ... 10<sup>4</sup>; минимальная регистрируемая мощность онтического излучения -10<sup>-6</sup>...10<sup>-6</sup> Вт; дианавон длин воли регистрируемого излучения - 400...1300 нм; число точек на интервале стробирования - 128, 256, 512, 1024; длительность разверток на всю шкалу - 0,1; 0,4; 3,1; 5; 10; 20; 50; 100 нс; время наконления сигнала в одной точке стробирования при частоте повторения (10<sup>3</sup>...10<sup>5</sup>)Гл - 0,001; 0,01; 0,3; 1 с; оптический вход - посредством объектива "Гелиос-44".

Структурная схема установки для исследования инжекционных ге-

теролазеров представлена на рис. 9.

Исследуемые ласеры накачивались импульсами тока прямоугольной формы длительностью 5 ис с частотой повторения 50 и 100 кГц. Зарегистрированная форма переходных процессов при расличных оначениях тока накачия покасана на рис. 10 (для ИЛПИ-301) и на рис.11, 12 (для ИЛПН-102). Заметим, что ИЛПИ-301 - суперлюминесцентный источиях, способный при определенных оначениях тока работать в паверном режиме. Появление неоатухающих пульсаций ислучения свясано с конструктивными особенностями данного источника. Полосковый контакт в нем проходит не по всей длине ресонатора. Область, находящаяся не под полосковым контактом, играет роль насыщающегося поглотителя.

Переходные процессы, полученные для многомодового лаосра ИЛПН-102, имеют качественное отличие от одномодового случая. Наибольшей интенсивностью может обладать не первый пичок иолучения, а второй или третий, что будет играть важную роль при импульсной модуляции иолучения в системах передачи информации. Временной интервал между первым и вторым пичками, намного больший длительности пичка, объясивется наличием в таком пвоере большого количества дефектов, которые приводят к режиму модуляции добротности.

На рис.13 приведены переходные процессы, полученные для NЛПH-102 при расличных оначениях угла  $\alpha$  между торцом ласера и фотоприемником. Изменение вида переходных процессов может быть объяснено различным расположением в диаграмме направленности ислучения продольных и поперечных мод.

Для объясненяя наблюдаемых в висперименте переходных процессов в многомодовых внжевционных лаосрах была предложена модель, в которой учитывается неравномерное распределение носителей оаряда в направлении, перепендикулярном направлениям распространения генерируемого излучения и тока внжевции [17]. В таком случае возможно проновести расбиение автивной области лаосра на ряд объемов, в которых концентрация носителей оаряда предполагается не оависящей от координат. В каждом объеме генерируется одна продольная мода, причем все продольные моды пространственно не перекрываются, что соответствует случаю образования независимых каналов генерации. Кроме того, предполагается генерация одной поперечной моды, интенсивность которой нельоя считать не оависящей от интенсивности продольных мод. Каждая мода инсет собственные коеффициенты потерь в усиления.

При численном решении системы дифференциальных уравнений для случая генерални трех продольных мод и одной поперечной получены

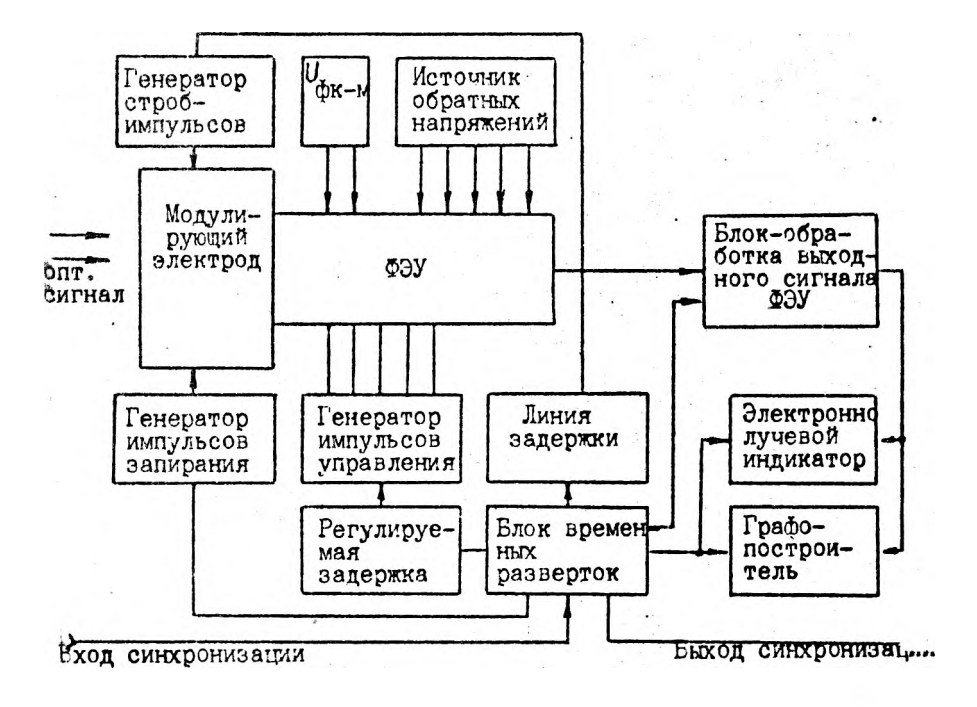


Рис. 8. Структурная схема стробоскопического фотомектр ного осциплографа оптических сигнадов ОСО-2

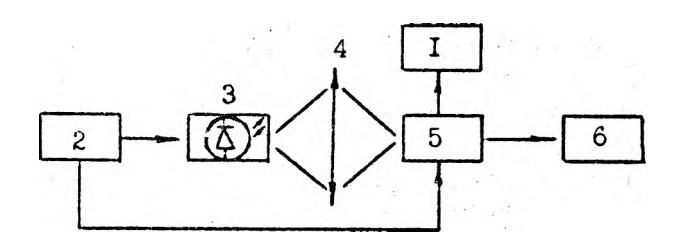


Рис. 9. Структурная схема установки для исследования динамики генерации инжекционных гетеропасеров: 1 - универсальный осциллограф С1-65; 2 - генератор импульсов тока; 3 - исследуемый пасер; 4. - объектив; 5 - ОСО-2; 6 - самописец

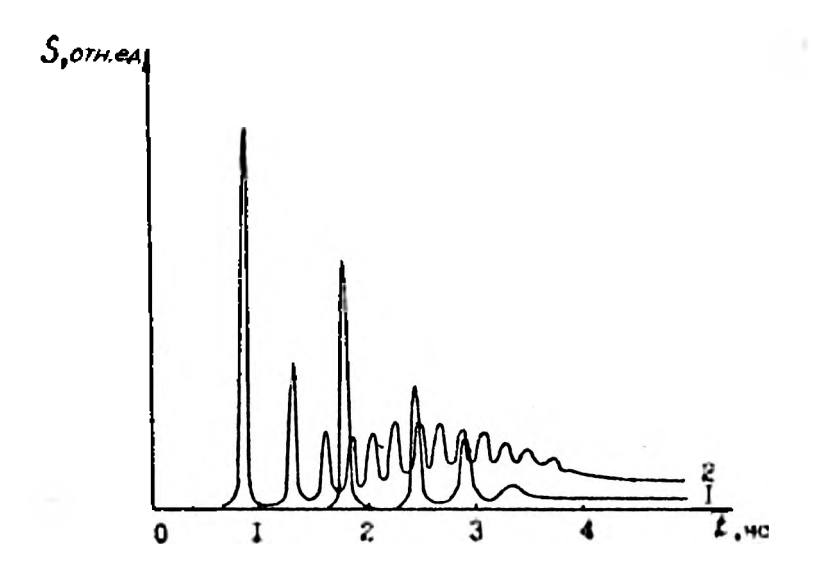


Рис. 10. Переходной процесс для иолучателя ИЛЦИ-301:  $1 \cdot I = 0.6A; 2 \cdot I = 1A (I_{sop} = 0.48A)$ 

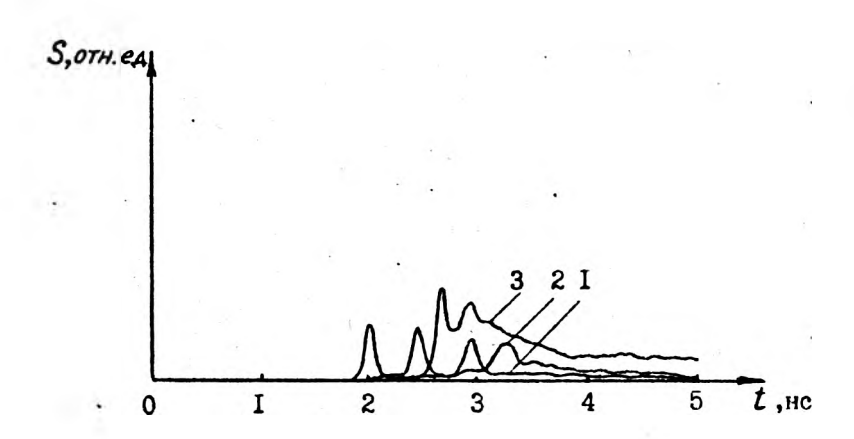


Рис. 11. Перекодной процесс для ласера  $\overline{IJIIIH}$ -102: 1 - I=0.6A; 2 - I=0.7A ( $I_{sop}=0.55A$ )

результаты, которые не в полной мере объясняют характер переходных процессов в многомодовых инжекционных лазерах.

Для описания динамического поведения инжепционных гетеролаоеров, генерирующих продольные и поперечные моды, была предложена модель, в которой учитывается неравномерное распределение носителей оаряда в направлении, перпендикулярном направлениям распространения генерируемого получения и тока инжекции, а также раоличный профиль поперечных и продольных мод, выжигание пространственных провалов усиления для продольных мод и диффусия носителей оаряда в двух направлениях [18,19].

При пирине нолоскового контакта, сначительно большей длины волны молучения, можно ожидать появления в спектре генерации поперечных мод, частоты  $\omega$  которых блиоки и частотам соответствующих продольных мод  $\omega$ , и в первом приближении их можно считать равными:

$$\omega_{n,q} \approx \omega_{00q} = \pi c \frac{q}{nL},\tag{30}$$

где q = 1,2,3,...

Межмодовое расстояние для продольных мод  $\delta\lambda = \lambda_s^2/2nL$ .

Считая, что распределение поля влектромагнитной волны в ресонаторе оависит только от индекса s (при m=0), расобьем активную область ласера на нять сон, три не которых находятся под полосковым контактом шириной 2W и две - по бохам (рис. 14).

Такая модель инжекционного лаосра пооволяет описать поведение мод с индексами s=0 (продольных) и s=1. Вследствие симметрии структуры необходямо рассмотреть 3 ооны: 1, 2 (2'), 3 (3').

Плотность влектронов в етих областях считаем соответственно равной:

$$n(x) = \begin{cases} n_1, & 0 < |x| \le W/3, \\ n_2, & W/3 < |x| \le W, \\ n_3, & W < |x| \le b + W. \end{cases}$$
(31)

Кооффициенты усиления для продольных мод оздаются выражением:

$$G_{ij} = \frac{1}{2W} \int_{-\infty}^{\infty} G_i(n(x)) |E_j(x)|^2 dx,$$
 (32)

где нормировка электрического поля определяется формулой:

$$\int_{-\infty}^{\infty} |E_j(x)|^2 dx = 2W. \tag{33}$$

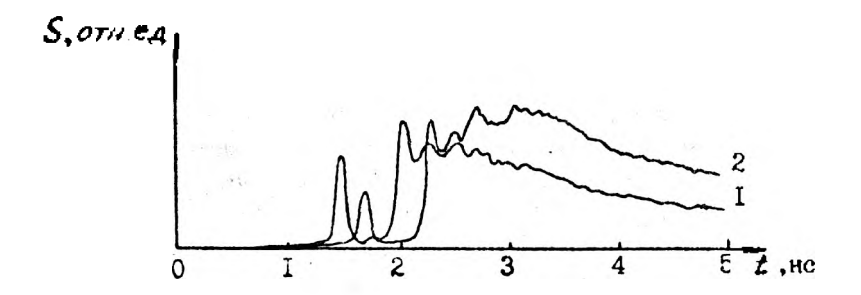
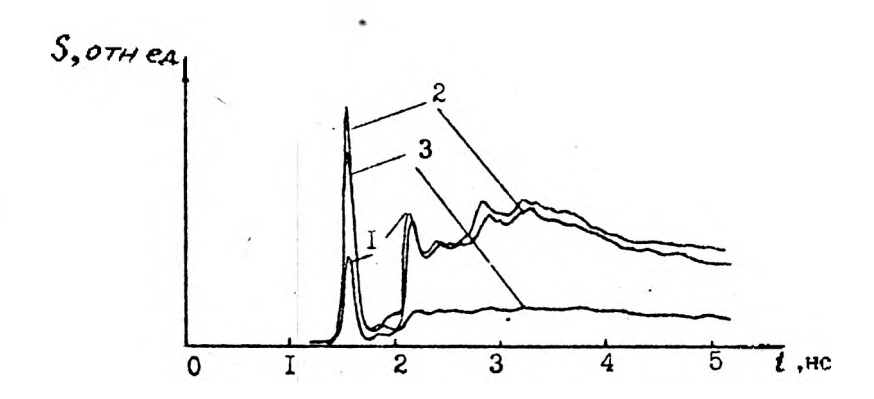


Рис. 12. Переходной процесс для паоера ИЛПН-102: 1 - I = 0.9A; 2 - I = 1A



Рыс. 13. Переходной процесс для паоера ИЛПН-102 : 1 –  $\alpha = 10^\circ$ ; 2 –  $\alpha = -10^\circ$ , 3 –  $\alpha = 0^\circ$ .

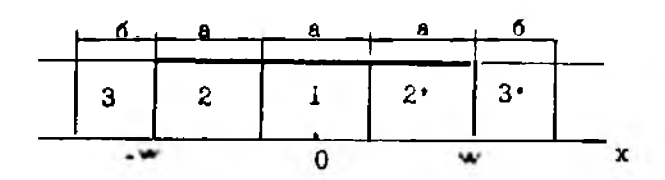


Рис. 14. Раобиение активной области даоера.

Пормированные амплитуды напряженности поля продольных и поперечных мод для рассматриваемой структуры активной области можно вырасить следующим образом:

$$|E_0| = \begin{cases} \sqrt{2}cos(\frac{\pi x}{2W}), |x| \le W, \\ 0, |x| > W. \end{cases} |E_1| = \begin{cases} \sqrt{2}sin(\frac{\pi x}{W}), |x| \le W, \\ 0, |x| > W, \end{cases} (34)$$

Кооффициент усиления вапишется в виде:

$$G_{ij} = \frac{1}{2W}G_i(n_1) \int_{-D/3}^{M/2} |E_j|^2 dx + \frac{1}{W}G_i(n_2) \int_{-D/3}^{M} |E_j|^2 dx,$$
 (38)

вля, используя (34), получим приближенно для продольных и поперечных мод соответственно:

$$G_{ab} = 0.6G_i(n_1) + 0.4G_i(n_2),$$

$$G_{i1} = 0.2G_i(n_1) + 0.8G_i(n_2).$$
(36)

Для учета диффуски носителей саряда саметим, что номенение плотности носителей са сдилицу времени в объеме V биагодаря диффуски черес площадку A равно [8]:

$$\frac{dn}{dt}\Big|_{\Phi I} = D' \frac{dn}{dx} \frac{A}{V}.$$
 (37)

Тогда диффуски по соны 2 (2') в сону 1 будет описываться уравнением:

$$\frac{dn}{dt}\Big|_{dif} = D'\frac{2}{a^2}(n_2 - n_1). \tag{38}$$

Для диффусии между сонами 3 (3') и 2 (2') получим аналогичные выражения.

Для учета выжигания пространственных провалов усиления для продольных мод введем величины n<sub>1</sub> и n<sub>2</sub>, представляющие собой исменения плотностей олектронов в тонах 1 и 2 соответственно. Также необходимо учитывать диффурию носителей оаряда в направлении распространения волучения, которая для полупроводниковых ласеров приводит к онвачительному стлаживанию проважов усиления. Диффусмонные составляющие в скоростных уравнениях для n будут равны:

$$\left. \frac{dn_{Bki}}{dt} \right|_{dif} = -\frac{n_{Bki}}{\tau_s} - 4k^2 D' n_{Bki},\tag{39}$$

что легко получить ио (19).

С учетом сделанных приближений динамика генерация волучения таким ласером будет описываться скоростными уравнениями вида :

$$\frac{dn_1}{dt} = \frac{Jn_1}{\tau_s ed} + D' \frac{2}{a^2} (n_2 - n_1) - 1.8 \sum_i G_i(n_1 - n_{B1i}/2, \lambda_i) S_{i0} - 0.6 \sum_i G_i(n_1, \lambda_i) S_{i1},$$
(40)

$$\frac{dn_2}{dt} = \frac{Jn_2}{ed\tau_s} + D'\frac{1}{a^2}(n_1 - n_2) + D'\frac{2}{a(a+b)}(n_3 - n_2) - \\
-0.6 \sum_i G_i((n_2 - n_{dis}/2, \lambda_i)S_{i0} - 1.2 \sum_i G_i(n_2, \lambda_i)S_{i1}, \tag{41}$$

$$\frac{dn_3}{dt} = -\frac{n_3}{\tau_s} + D'\frac{2}{b(a+b)}(n_2 - n_3), \tag{42}$$

$$\frac{dn_{B1i}}{dt} = -\frac{n_{B1i}}{\tau_{\bullet}} - 4k^2D'n_{B1i} + 1.8G_i(n_1 - n_{B1i}, \lambda_i)S_{i0}, \tag{43}$$

$$\frac{dn_{Bh}}{dt} = -\frac{n_{Bh}}{\tau_A} - 4k^2 D' n_{B2i} + 0.6G_i(n_2 - n_{B2i}, \lambda_i) S_{i0}, \tag{44}$$

$$\frac{dS_{ij}}{dt} = \left(0.6 \left(G_i(n_1 - n_{B1i}/2, \lambda_i) - \frac{1}{\tau_{g1i}}\right) + 0.4 \left(G_i(n_2 - n_{B2i}/2, \lambda_i) - \frac{1}{\tau_{g1i}}\right)\right) S_{i0} + \frac{\beta}{\tau_g} (n_1 + 2n_2), \tag{45}$$

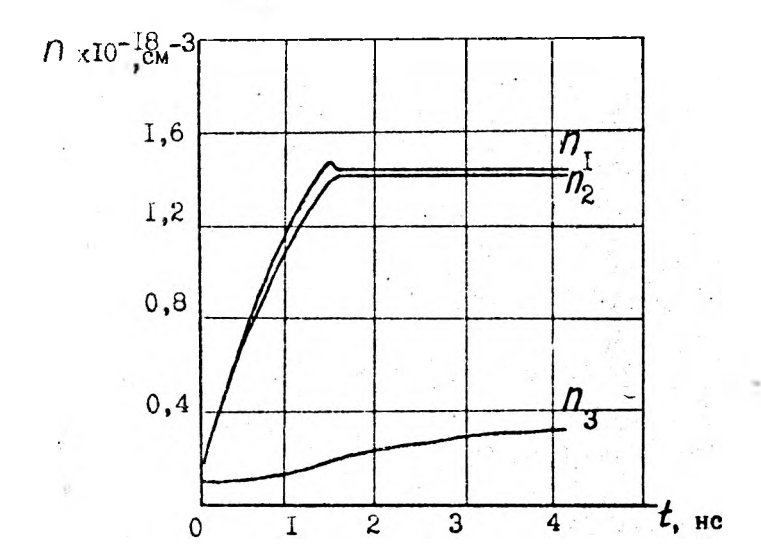
$$\frac{dS_{i1}}{dt} = \left(0.2\left(G_i(n_1, \lambda_i) - \frac{1}{\tau_{p1i}}\right) + 0.8\left(G_i(n_2, \lambda_i) - \frac{1}{\tau_{p2i}}\right)\right)S_{i1} + \frac{\beta}{\tau_s}(n_1 + 2n_2),\tag{46}$$

где  $S_{i0}$ ,  $S_{i1}$  - плотности фотонов в  $i_0$ -й продольной и  $i_1$ -й поперечной модах соответственно;  $\tau_{p1i}$  и  $\tau_{p2i}$  - времена живни фотонов в i-х модах в 1-м и 2-м объемах;  $G(n, \lambda_i)$  в приближении мономолекулярного воанмодействия определяется выражением:

$$G(n,\lambda_i) = g_0(n-n_0)V\left(1-2(\frac{\lambda_i-\lambda_0}{\delta\lambda_0})^2\right),\tag{47}$$

где  $\delta\lambda_0$  - ширина контура усиления,  $\lambda_0$  - длина волны, соответствующая максимуму усиления.

Так как систему (40 - 46) невозможно решить аналитически, для ее численного решения написан программный комплекс на явыке Turbo C



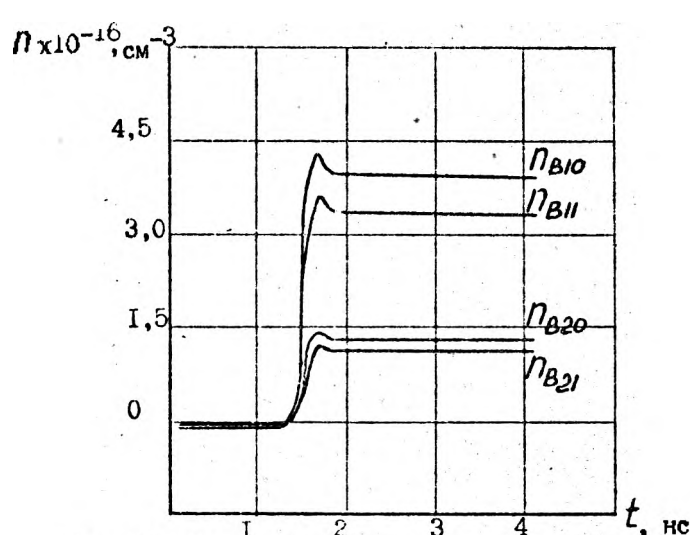


Рис. 15. Зависимость концентраций впектронов от времени для паоера, генерирующего 2 продольные и 2 поперечные моды:  $J=4500A/cm^2;~v=8.5\cdot10^3cm/c;~d=2\cdot10^{-5}cm;~\Delta\lambda=0.5$ нм;  $\tau_{pol}=2.4\cdot10^{-12}c$ ;  $\tau_{pol}=2.3\cdot10^{-12}c$ ;  $\tau_{pol}=2.3\cdot10^{-12}c$ ;  $\tau_{pol}=2.3\cdot10^{-12}c$ ;

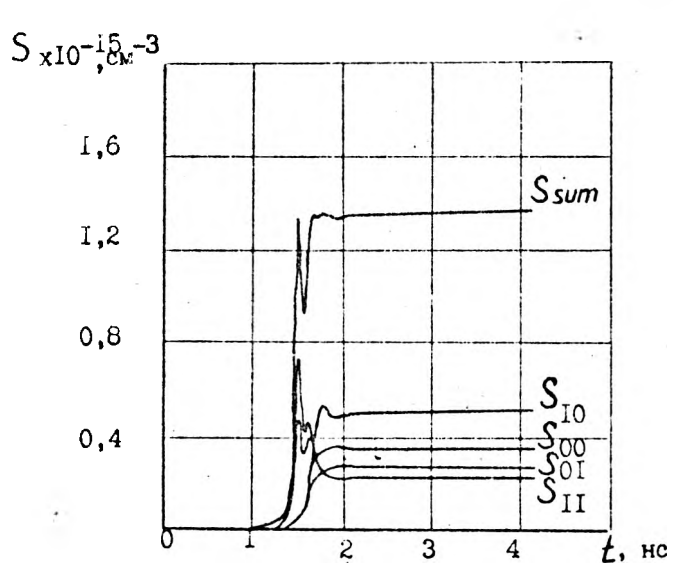


Рис. 16. Зависимость плотности фотонов от времени для наосра, генерирующего 2 продольные и 2 поперечные моды:  $J = 4500 A/c M^2$ ;  $v = 8.5 \cdot 10^9 c M/c$ ;  $d = 2 \cdot 10^{-6} c M$ ;  $\Delta \lambda = 0.5 H M$ ;  $\tau_{poo} = 2.4 \cdot 10^{-12} c$ ;  $\tau_{pol} = 2.3 \cdot 10^{-12} c$ ;  $\tau_{pol} = 2.3 \cdot 10^{-12} c$ ;  $\tau_{pol} = 2.3 \cdot 10^{-12} c$ ;

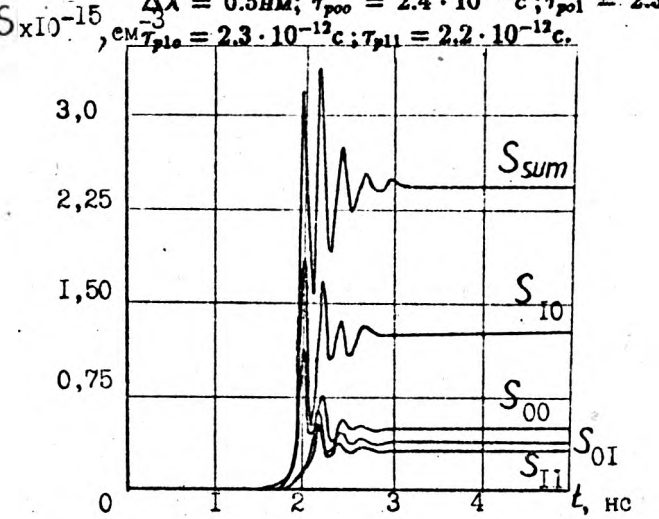
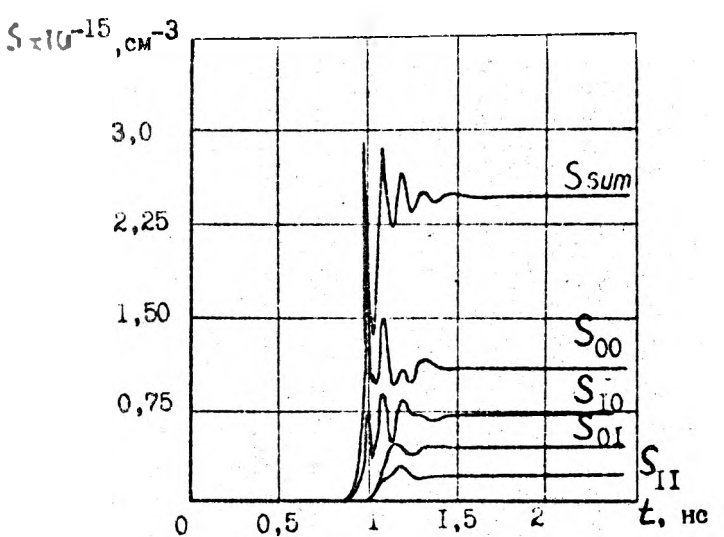


Рис. 17. Вависимость ипотности фотовов от временя для явлера, генерярующего 2 продовыные и 2 поперечные моды:  $J=6000A/cm^2$ ;  $v=8.5\cdot 10^9 cm/c$ ;  $d=2\cdot 10^{-8} cm$ ;  $\Delta\lambda=0.5 nm$ ;  $\tau_{po}=2.4\cdot 10^{-13} c$ ;  $\tau_{po}=2.3\cdot 10^{-12} c$ ;  $\tau_{plo}=2.3\cdot 10^{-12} c$ ;  $\tau_{p$ 



Proc. 18. Зависимость илотности фотонов от аремени:  $J=6000A/cm^2$ ;  $v=8.5\cdot 10^3 cm/c$ ;  $d=2\cdot 10^{-6} cm$ ;  $\Delta\lambda=0.5 m$ ;  $\tau_{poo}=2.7\cdot 10^{-12}c$ ;  $\tau_{pol}=2.1\cdot 10^{-12}c$ ;  $\tau_{plo}=2.1\cdot 10^{-12}c$ ;  $\tau_{plo}=2.1\cdot 10^{-12}c$ ;  $\tau_{plo}=2.1\cdot 10^{-12}c$ 

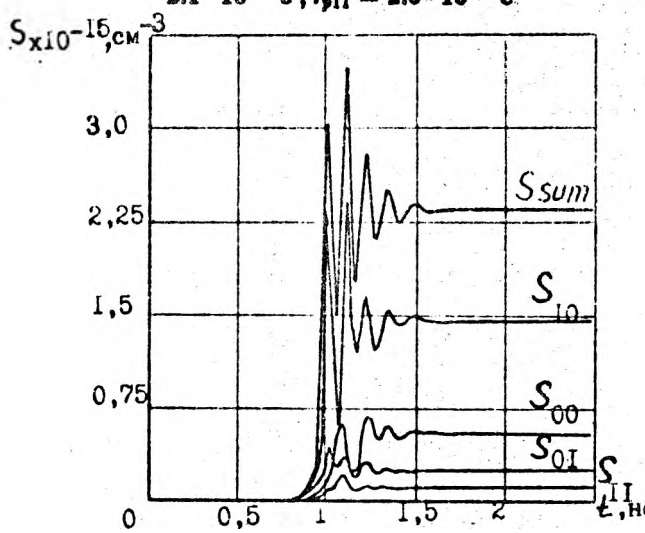
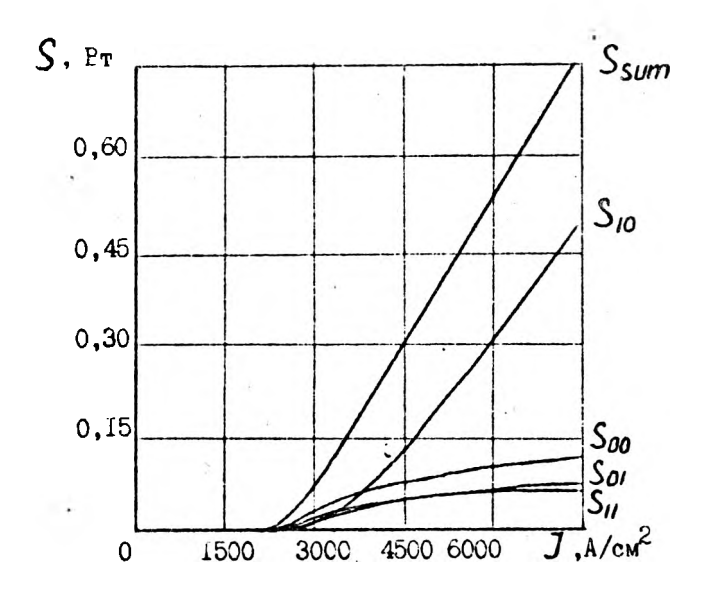


Рис. 19. Зависимость плотности фотонов от времени:  $J=6000A/cm^2; v=8.5\cdot 10^9 cm/c; d=2\cdot 10^{-9} cm; \Delta\lambda=1.5 вm; <math>\tau_{poo}=2.4\cdot 10^{-12}c; \tau_{pol}=2.3\cdot 10^{-12}c; \tau_{plo}=2.3\cdot 10^{-12}c; \tau_{plo}=2.3$ 



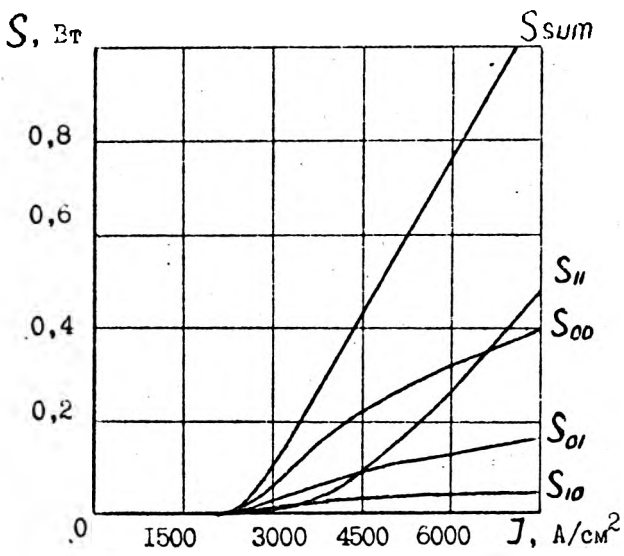


Рис. 20. Ватт-амперная характеристика дасера, генерирующего 2 продольные и 2 поперечные моды: а)  $\tau_{pco}=2.55\cdot 10^{-12}c$ ;  $\tau_{pol}=2.38\cdot 10^{-12}c$ ;  $\tau_{plo}=2.4\cdot 10^{-12}c$ ;  $\tau_{pll}=2.4\cdot 10^{-12}c$ ;  $\tau_{plo}=2.4\cdot 10^{-12}c$ ;  $\tau_{plo}=2.4\cdot 10^{-12}c$ ;  $\tau_{plo}=2.0\cdot 10^{-12}c$ ;  $\tau_{plo}=2.1\cdot 10^{-12}c$ .

2.01 [20, 21], пооволяющий получить вид переходных процессов и распределение интенсивности иолучения отдельных мод и в интегральном потоже при подаче на парер прямоугольного импульса тока радвиной амплитуды и длительности, а также вид ватт-амперной карактеристики. Система дифференциальных уравнений решается методом Шихмана, который является неявным двухшаговым методом. Вооникающая на каждом шаге система пелинейных алгебраических уравнений решается методом Ньютона, а ресультирующая линейная система - методом Гаусса.

На рис. 15 - 19 повазан вид переходных процессов, рассчитанный для лавера, генерирующего 2 продольные в 2 поперечные моды, при разных оначениях тока накачки и других параметров лавера - времени жизни фотонов во всех модах и межмодового расстояния.

Аналиоируя полученные рависимости, можно раметить, что форма переходного пропоска для отдельных мод и интегрального потока существенно отличается, причем наибольшие отличия существуют между полеженими и продольными модами, в то время как между модами одной пространственной конфигурации с разлыми продольными индексами наблюдаются только количественные отличик, выованные расличием в усилении для них ио-оа раоной длины волны [22]. Первый пичок релаксационных колебаний практически полностью создается продольными молами, а существенный вклап поперечных моп есть только во втором или третьем пичке. В большинстве случаев (рис.16, 17, 19) при выходе в режим стационарной генерации доминирует поперсчиая мода, несмотря на -орп илд мэн мишанэм столовар иля нее садавалось менешим, чем для продольных мод. Ивменение межмодового расстояния приводит не только к ивменению соотнощений между интенсивностями мод с раоными продольными индексами, но и к качественному ивменению оависимости их интенсивности от времени (см.рис.17, 19).

На рис. 20 покаоаны ватт-амперные характеристики, рассчитанные для данной модели лаоера. Здесь наблюдается конкуренция мод, выражающаяся в смене доминирующего типа колебаний при росте тока накачки.

Таким обравом, можно сделать вывод, что полученные оависимости носят сложный характер, их вид оависит от параметров лапера и накачки и качественно отличается от одномодового случая (см. рис. 7). Рассчитанные переходные процессы подтверждают экспериментальные оависимости, полученные методом оптической стробосциплографии.

Настоящая работа была частично поддержана Международной Соросовской Программой образования в области точных наук.

## ЛИТЕРАТУРА

- 1. Еписеев П.Г. Введение в фиоику инжекционных пасеров. М.: Наука, 1983. 294 с.
- 2. Волощенко Ю.И., Джамалов А.Ш., Фролкин В.Т. Математические модели инжекционных полупроводниковых лаосров.// Зарубежная электронная техника. 1988.-N<sup>2</sup>6. C.76 99.
- 3. Грибковский В.П. Полупроводниковые лаоеры. Мн.: Университетское, 1988. 304 с.
- 4. Богданвевич О.В., Даронек С.А., Елисеев П.Г. Полупроводниковые лаоеры. - М.: Наука и техника, 1975. - 464 с.
- 5. Манак И.С. Квантовые полупроводниковые приборы: Учебное пособие по спецкурсу для студентов специальности 23.02 "Радиофионка и опектроника": В 2 ч. Ч.2.- Мн.: БГУ, 1990.- 67 с.
- 6. Балошин Ю.А., Крылов К.И., Шарлай С.Ф. Применение ЭВМ при рвоработке лаоеров. Л.: Машиностроение, Ленингр. отд-ние, 1989. 236 с.
- 7. Statz H., Tang C.L., Lavine J.M. Spectral output of semiconductor lasers.// J. Appl. Phys. 1964. V.35, N<sup>2</sup>9. P.2581 2585.
- 8. Buus J., Danielsen M.. Carrier diffusion and higher order transversal modes in spectral dynamics of the semiconductor laser.// IEEE J. Quant. El. 1977. V.13. N<sup>2</sup>8. P. 669 674.
- 9. Кейси X., Паниш М. Лаоеры на гетероструктурах. Т.1 М.: Мир, 1981. 300 с.
- 10. Chang-Zhu Cuo, Kai-Ge Wang. Intrinsic pulsation in stripe geometry DH semiconductor lasers.// IEEE J. Quant. El. 1982. V.18, N\*10. P.1728 1733.
- 11. Olsen C.M., Stubkjaer K.E., Olesen H. Noise caused by semiconductor lasers in high speed fiber optic links.// IEEE J. Lightwave Technol. 1989, V.7, N<sup>2</sup>4. P.657 665.
- Dynamics mode stability in gain distributed feedback lasers./S.
   Tauji, M. Okai, H. Nakao et al. // IEEE J. Quant. Ei. 1989. V.25, N<sup>2</sup>6.
   P.1333 1339.
- 13. Dietrich M. Computer simulation of laser photon fluctuations: theory of single cavity laser.// IEEE J. Quant. El. 1984. V.20, N\*10. pp.1139 1147.
- 14. Афоненко А.А., Манак И.С. Теоретический аналио физических процессов в одномодовых инжекционных пасерах в режиме свободной

- генерадии.// Ласерная и оптико-электронная техника: Межвус. сб. науч. тр. Вып.2. - Ми.: Белгосуниверситет, 1992. - С.12-27.
- 15. Гауор Дж. Оптические системы свяюн. М.:Радио и связь,1989. 504 с.
- 16. Прохоренко А.С. Стробоскопическая фотовлектронная осциллография оптических сигналов с субнаносскундным разрешением во времени. Дисс. жанд. техн. наук. Мн., 1989. 145 с.
- 17. Ювченко В.Н. Аналио динамики генерации волучения многомодовыми инжекционными ласерами.//Матерыялы 51-й студенцкай навуковай канференцы БДУ (красавік - май 1994 г., Мінск) - Мн.: БДУ, 1994. - С.95 - 96.
- 18. Манак И.С., Ювченко В.Н. Изучение динамики генерации волучения многомодовыми вижекционными лазерами.//Применение лазерной и оптико электронной техники в учебном процессе. Теонсы докладов республиканской научно-методической конференции (21 22 марта 1995 г., г. Минск) Мн.: БГУ, 1995. С.44.
- 19. Манак И. С., Ювченко В. Н. Моделирование на ПЭВМ переходных процессов в многомодовых инжекционных гетеролаверах.//Применение лаоерной и оптихо-электронной техники в учебном процессе. Сборник научно-методических статей. Вып.2. Мн.: БГУ. -1995. - С.139 - 142.
- 20. Манак И.С., Ювченко В.Н. Компьютерное моделирование переходных процессов в многомодовых инжекционных лаоерах // Материалы республиканской научно-методической конференции, посвященной 25-летию ФПМИ (10 14 апреля 1995 г., г. Минск). Ч.1. Ми.: БГУ, 1995. С.108.
- 21. Фиовка полупроводниковых ласеров. Руководство в ласораторым расотам для студентов специальности 23.02. В 7-ми частях. Ч.6/ А.А. Афоненко, В.К. Кононенко, И.С. Манак и др.- Ми.: БГУ, 1995. 24
- 22. Манах И.С., Ювченко В.Н. Эффекты конхуренции мод в многомодовых инжекционных гетеролазерах.//И-я Международная конф. по лазерной физике и спектроскопии. Теписы докладов. - Гродно: ГрГУ, 1995. - С. 90-91.